

# NORME INTERNATIONALE INTERNATIONAL STANDARD

CEI  
IEC

60444-1

1986

AMENDEMENT 1  
AMENDMENT 1  
1999-08

---

---

---

Amendment 1

**Mesure des paramètres des quartz  
piézoélectriques par la technique de phase nulle  
dans le circuit en pi –**

**Partie 1:**

**Méthode fondamentale pour la mesure de la  
fréquence de résonance et de la résistance de  
résonance des quartz piézoélectriques par la  
technique de phase nulle dans le circuit en pi**

[IEC 60444-1:1986/AMD1:1999](#)

<https://standards.iteh.ai/catalog/standards/sist/a36954bc-1451-4580-bad8-1de02277a328/iec-60444-1-1986-amd1-1999>

Amendment 1

**Measurement of quartz crystal unit parameters  
by zero phase technique in a pi-network –**

**Part 1:**

**Basic method for the measurement of resonance  
frequency and resonance resistance of quartz  
crystal units by zero phase technique in  
a pi-network**

© IEC 1999 Droits de reproduction réservés — Copyright - all rights reserved

International Electrotechnical Commission  
Telefax: +41 22 919 0300

3, rue de Varembé Geneva, Switzerland  
e-mail: [inmail@iec.ch](mailto:inmail@iec.ch)  
IEC web site <http://www.iec.ch>



Commission Electrotechnique Internationale  
International Electrotechnical Commission  
Международная Электротехническая Комиссия

CODE PRIX  
PRICE CODE

H

Pour prix, voir catalogue en vigueur  
For price, see current catalogue

## AVANT-PROPOS

Le présent amendement a été établi par le comité d'études 49 de la CEI: Dispositifs piézoélectriques et diélectriques pour la commande et le choix de la fréquence.

Le texte de cet amendement est issu des documents suivants:

FDIS	Rapport de vote
49/442/FDIS	49/445/RVD

Le rapport de vote indiqué dans le tableau ci-dessus donne toute information sur le vote ayant abouti à l'approbation de cet amendement.

---

Page 2

## SOMMAIRE

*Ajouter le titre de l'annexe B comme suit:*

Annexe B – Mise à jour de certaines formules de l'annexe A  
**THE STANDARD PREVIEW**  
**(standards.iteh.ai)**

Page 42

[IEC 60444-1:1986/AMD1:1999](#)

*Ajouter, après l'annexe A, la nouvelle annexe B comme suit:*  
<https://standards.iteh.catlog.standards.iteh/a6974bc-1451-4580-bad8-1de02277a328/iec-60444-1-1986-amd1-1999>

## Annexe B (normative)

### **Mise à jour de certaines formules de l'annexe A**

#### **B.1 Objectifs**

Dans cette annexe, certaines formules de l'annexe A sont mises à jour en prenant en considération la procédure modifiée d'étalonnage d'un réseau en  $\pi$  avec la résistance de référence  $R_n = 25 \Omega$  à la place de la lame court-circuit.

La formule reliant  $R_r$  aux tensions mesurées est dérivée pour les valeurs arbitraires de la résistance de référence  $R_n$ . L'erreur sur  $R_n$  est prise en considération dans l'analyse des erreurs pour  $R_r$ .

La formule est donnée pour le courant et le niveau d'excitation d'un résonateur à quartz inséré dans le réseau en  $\pi$ . La pente de phase d'un résonateur à quartz inséré dans le réseau en  $\pi$  est obtenue et la formule pour  $Q_{\text{eff}}$  est corrigée.

## FOREWORD

This amendment has been prepared by IEC technical committee 49: Piezoelectric and dielectric devices for frequency control and selection.

The text of this amendment is based on the following documents:

FDIS	Report on voting
49/442/FDIS	49/445/RVD

Full information on the voting for the approval of this amendment can be found in the report on voting indicated above.

---

Page 3

## CONTENTS

*Add the title of annex B as follows:*

## **iTeh STANDARD PREVIEW (standards.iteh.ai)**

Page 43

IEC 60444-1:1986/AMD1:1999

Add, after appendix A, the new annex B as follows:  
<https://standards.iteh.ai/catalog/standards/sist/a36954bc-1451-4580-bad8-1de02277a328/iec-60444-1-1986-amd1-1999>

### **Annex B (normative)**

#### **Updating of some formulae of appendix A**

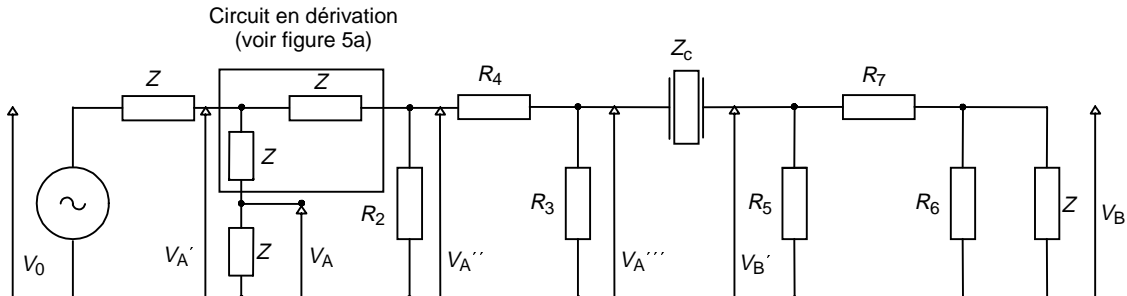
### **B.1 Purposes**

In this annex some formulae of the appendix A are updated, taking into account the modified calibration procedure of the  $\pi$ -network with a reference resistor  $R_n = 25 \Omega$  instead of a short.

The formula relating  $R_r$  to the measured voltages is derived for arbitrary values of the reference resistor  $R_n$ . The error of  $R_n$  is taken into account in the error analysis for  $R_r$ .

The formula for current and drive level of the crystal in the  $\pi$ -network is given. The phase slope of the crystal inserted in the  $\pi$ -network is derived and the formula for  $Q_{\text{eff}}$  is corrected.

## B.2 Circuit en $\pi$ chargé par $Z = 50 \Omega$ (avec le circuit en dérivation conforme à la figure 5a)



IEC 1019/99

Figure B.1 – Circuit en  $\pi$  chargé

## B.3 Facteur de transfert de la tension d'un circuit en $\pi$ chargé

Ci-dessous la dérivation élémentaire du facteur de transfert de la tension est présentée pour obtenir une formule plus complète.

**iTeh STANDARD PREVIEW**

$$\text{Soit } R_6' = R_6 \parallel Z = \left( \frac{1}{R_6} + \frac{1}{Z} \right)^{-1} \text{ (standards.iteh.ai)}$$

[IEC 60444-1:1986/AMD1:1999](#)

$$\text{Alors } \frac{V_B'}{V_B} = \frac{R_6'}{R_6' + R_7} = k_\pi = 0,3649 \quad (B.1)$$

$$\text{Définir } R_5' = R_5 \parallel (R_6' + R_7) = \left( \frac{1}{R_5} + \frac{1}{R_6' + R_7} \right)^{-1} = R_{T2} = 12,5 \Omega$$

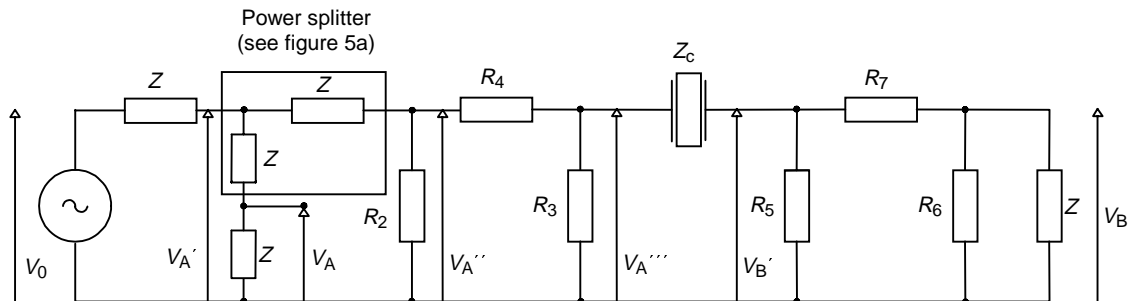
où  $R_{T2}$  est la résistance de terminaison à la sortie du circuit en  $\pi$  comme vu de la part d'un résonateur.

$$\text{Alors } \frac{V_B'''}{V_A'''} = \frac{R_5'}{R_5' + Z_c} \quad (B.2)$$

$$\text{Définir } R_3' = R_3 \parallel (R_5' + Z_c) = \left( \frac{1}{R_3} + \frac{1}{R_5' + Z_c} \right)^{-1}$$

$$\text{Alors } \frac{V_A'''}{V_A} = \frac{R_3'}{R_3' + R_4} \quad (B.3)$$

## B.2 The $\pi$ -network terminated by $Z = 50 \Omega$ (with power splitter according to figure 5a)



IEC 1019/99

**Figure B.1 – Terminated  $\pi$ -network**

## B.3 Voltage transfer factor of the terminated $\pi$ -network

In the following an elementary derivation of the voltage transfer factor is presented to provide a more comprehensive formula.

Let  $R_6' = R_6 \parallel Z = \left( \frac{1}{R_6} + \frac{1}{Z} \right)^{-1}$  **STANDARD PREVIEW**  
**(standards.iteh.ai)**

Then  $\frac{V_B'}{V_B} = \frac{R_6'}{R_6' + R_7} = k_\pi = 0,3649$  IEC 60444-1:1986/AMD1:1999  
<https://standards.iteh.ai/catalog/standards/sist/a36954bc-1451-4580-bad8-1de02277a328/iec-60444-1-1986-amd1-1999> (B.1)

Define  $R_5' = R_5 \parallel (R_6' + R_7) = \left( \frac{1}{R_5} + \frac{1}{R_6' + R_7} \right)^{-1} = R_{T2} = 12,5 \Omega$

where  $R_{T2}$  is the termination resistance at the output of the  $\pi$ -network as seen by the crystal.

Then  $\frac{V_B''}{V_A} = \frac{R_5'}{R_5' + Z_c}$  (B.2)

Define  $R_3' = R_3 \parallel (R_5' + Z_c) = \left( \frac{1}{R_3} + \frac{1}{R_5' + Z_c} \right)^{-1}$

Then  $\frac{V_A'''}{V_A} = \frac{R_3'}{R_3' + R_4}$  (B.3)

$$\text{Définir } R_2' = R_2 \mid | \left( R_3' + R_4 \right) = \left( \frac{1}{R_2} + \frac{1}{R_3' + R_4} \right)^{-1}$$

Il s'ensuit que pour le circuit en dérivation conforme à la figure 5a et ne prenant pas en considération les câbles:

$$\frac{V_A''}{V_A'} = \frac{R_2'}{R_2' + Z} \quad (\text{B.4})$$

$$\text{et } \frac{V_A'}{V_A} = \frac{2Z}{Z} = 2 \quad (\text{B.5})$$

Le facteur de transfert de la tension  $V_B/V_A$  est obtenu en multipliant les formules (B.1)  $\times$  (B.2)  $\times$  (B.3)  $\times$  (B.4)  $\times$  (B.5):

$$\frac{V_B}{V_A} = \frac{V_B'}{V_B} \times \frac{V_B'}{V_A''} \times \frac{V_A''}{V_A''} \times \frac{V_A''}{V_A'} \times \frac{V_A'}{V_A}$$

Après certaines substitutions et réarrangements, on peut montrer que

$$\frac{V_B}{V_A} = \frac{R_2 R_{T1} 2 Z R_{T2} R_6}{(Z(R_2 + R_4) + R_2 R_4) \times (Z(R_6 + R_7) + R_6 R_7)} \times \frac{1}{Z_c + R_{T1} + R_{T2}} \quad (\text{B.6})$$

<https://standards.iteh.ai/catalog/standards/sist/a36954bc-1451-4580-bad8-1de02277a328/iec-60444-1-1986/amd1-1999>

où

$$R_{T1} = \left( \frac{1}{R_3} + \frac{1}{R_4 + \left( \frac{1}{R_2} + \frac{1}{Z} \right)^{-1}} \right)^{-1} = 12,5 \Omega$$

et

$$R_{T2} = \left( \frac{1}{R_5} + \frac{1}{R_7 + \left( \frac{1}{R_6} + \frac{1}{Z} \right)^{-1}} \right)^{-1} = 12,5 \Omega$$

$V_B/V_A$  est symétrique par rapport à l'entrée et à la sortie du circuit en  $\pi$  et se divise en un facteur qui dépend de  $Z$  et des valeurs de la résistance du circuit en  $\pi$  seulement, et en un facteur qui dépend de l'impédance du résonateur  $Z_c$  chargée par les impédances de terminaison du circuit en  $\pi$ .

$$\text{Define } R_2' = R_2 \parallel \left( R_3' + R_4 \right) = \left( \frac{1}{R_2} + \frac{1}{R_3' + R_4} \right)^{-1}$$

Then, for a power splitter according to figure 5a and disregarding the cables:

$$\frac{V_A''}{V_A'} = \frac{R_2'}{R_2' + Z} \quad (\text{B.4})$$

$$\text{and } \frac{V_A'}{V_A} = \frac{2Z}{Z} = 2 \quad (\text{B.5})$$

The voltage transfer factor  $V_B / V_A$  is obtained by multiplying formulae (B.1)  $\times$  (B.2)  $\times$  (B.3)  $\times$  (B.4)  $\times$  (B.5):

$$\frac{V_B}{V_A} = \frac{V_B}{V_B'} \times \frac{V_B'}{V_A''} \times \frac{V_B''}{V_A''} \times \frac{V_A''}{V_A'} \times \frac{V_A'}{V_A}$$

After some substitutions and rearrangements it can be shown that

$$\frac{V_B}{V_A} = \frac{R_2 R_{T1} 2 Z R_{T2} R_6}{(Z(R_2 + R_4) + R_2 R_4) \times (Z(R_6 + R_7) + R_6 R_7) \times Z_c + R_{T1} + R_{T2}} \quad (\text{B.6})$$

[IEC 60444-1:1986/AMD1:1999](#)

where

<https://standards.iteh.ai/catalog/standards/sist/a36954bc-1451-4580-bad8-1de02277a328/iec-60444-1-1986-amd1-1999>

$$R_{T1} = \left( \frac{1}{R_3} + \frac{1}{R_4 + \left( \frac{1}{R_2} + \frac{1}{Z} \right)^{-1}} \right)^{-1} = 12,5 \Omega$$

and

$$R_{T2} = \left( \frac{1}{R_5} + \frac{1}{R_7 + \left( \frac{1}{R_6} + \frac{1}{Z} \right)^{-1}} \right)^{-1} = 12,5 \Omega$$

$V_B/V_A$  is symmetric with respect to the input and the output of the  $\pi$ -network and splits into a factor which depends only on  $Z$  and the resistance values of the  $\pi$ -network and a factor which depends on the crystal impedance  $Z_c$  loaded by the termination impedances of the  $\pi$ -network.

$$\frac{V_B}{V_A} = K(R_2 \dots R_7, Z) \times \frac{1}{Z_c + R_T}$$

où  $R_T = R_{T1} + R_{T2} = 25 \Omega$ .

A ce stade, les approximations ne sont pas faites. L'équation (B.6) est valable même si on admet que les résistances ont une impédance complexe.

La valeur de  $V_B/V_A$  pour  $Z_c = 0 \Omega$  est

$$K/R_T = 0,0333$$

ce qui correspond à l'affaiblissement de 29,6 dB.

#### B.4 Calibration avec la résistance de référence $R_n = 25 \Omega$

Comme  $K$  ne dépend pas de  $Z_c$ , l'application de la formule (B.6) donne ce qui suit:

pour la résistance de référence  $R_n$  insérée dans le circuit en  $\pi$ ,

$$\frac{V_{Bn}}{V_{An}} = \frac{K}{R_n + R_T} \quad \text{iTeh STANDARD PREVIEW} \quad (\text{B.7})$$

**(standards.iteh.ai)**

et pour le résonateur avec l'impédance  $Z_c$  insérée dans le circuit en  $\pi$ ,

[IEC 60444-1:1986/AMD1:1999](#)  

$$\frac{V_{Bc}}{V_{Ac}} = \frac{K}{Z_c + R_T} \quad \text{https://standards.iteh.ai/catalog/standards/sist/a36954bc-1451-4580-bad8-1de02277a328/iec-60444-1-1986-amd1-1999} \quad (\text{B.8})$$

En divisant (B.7) par (B.8) et en résolvant l'équation pour  $Z_c$ , on obtient

$$Z_c = \frac{V_{Bn}}{V_{An}} \times \frac{V_{Ac}}{V_{Bc}} (R_n + R_T) - R_T \quad (\text{B.9})$$

A la fréquence de résonance  $f_r$ , l'impédance du résonateur  $Z_c$  est égale à la résistance de résonance  $R_r$ , et on obtient

$$R_r = \left[ \frac{V_{Bn}}{V_{An}} \times \frac{V_{Ac}}{V_{Bc}} \left( \frac{R_n}{R_T} + 1 \right) - 1 \right] R_T \quad (\text{B.10})$$

Pour  $R_n = R_T = 25 \Omega$ , l'équation donnée ci-dessus a pour résultat la formule utilisée en 6.2.2.7.

$$\frac{V_B}{V_A} = K(R_2 \dots R_7, Z) \times \frac{1}{Z_c + R_T}$$

where  $R_T = R_{T1} + R_{T2} = 25 \Omega$ .

Thus far, no approximations have been made. Equation (B.6) holds even if the resistors are assumed to have complex impedance.

The value of  $V_B/V_A$  for  $Z_c = 0 \Omega$  is

$$K/R_T = 0,0333$$

corresponding to an attenuation of 29,6 dB.

#### B.4 Calibration with reference resistor $R_n = 25 \Omega$

As  $K$  does not depend on  $Z_c$ , application of formula (B.6) yields:

for a reference resistor  $R_n$  inserted in the  $\pi$ -network

**iTeh STANDARD PREVIEW**  
**(standards.iteh.ai)**

$$\frac{V_{Bn}}{V_{An}} = \frac{K}{R_n + R_T} \quad (B.7)$$

for a crystal with impedance  $Z_c$  inserted in the  $\pi$ -network

[IEC 60444-1:1986/AMD1:1999](#)  
954bc-1451-4580-bad8-1de02277a328/iec-60444-1-1986-amd1-1999

$$\frac{V_{Bc}}{V_{Ac}} = \frac{K}{Z_c + R_T} \quad (B.8)$$

By dividing (B.7) by (B.8) and solving the equation for  $Z_c$  one obtains

$$Z_c = \frac{V_{Bn}}{V_{An}} \times \frac{V_{Ac}}{V_{Bc}} (R_n + R_T) - R_T \quad (B.9)$$

At the resonance frequency  $f_r$  the crystal impedance  $Z_c$  is equal to the resonance resistance  $R_r$ , which gives

$$R_r = \left[ \frac{V_{Bn}}{V_{An}} \times \frac{V_{Ac}}{V_{Bc}} \left( \frac{R_n}{R_T} + 1 \right) - 1 \right] R_T \quad (B.10)$$

For  $R_n = R_T = 25 \Omega$  the above equation results in the formula used in 6.2.2.7.